

مقایسه سیستم‌های هوش مصنوعی (ANN و ANFIS) در تخمین

میزان تبخیر-تعرق گیاه مرجع در مناطق بسیار خشک ایران

کاووه احمدزاده قره‌گویز^۱ - سید مجید میرلطیفی^{۲*} - کورش محمدی^۳

تاریخ دریافت: ۸۸/۶/۱۷

تاریخ پذیرش: ۸۹/۳/۳۰

چکیده

تبخیر-تعرق یکی از اجزای اصلی چرخه هیدرولوژی و تخمین نیاز آبیاری است. در سال‌های اخیر استفاده از سیستم‌های هوشمند برای برآورد پدیده‌های هیدرولوژی افزایش چشمگیری داشته است. این پژوهش با هدف امکان تخمین تبخیر-تعرق مرجع (ET_0) روزانه با استفاده از سیستم‌های هوش مصنوعی و مقایسه این سیستم‌ها با هم، به انجام رسید. بدین منظور پتانسیل سیستم استنتاج تطبیقی عصبی-فازی (ANFIS) و شبکه عصبی مصنوعی (ANN) در برآورد تبخیر-تعرق مرجع روزانه مورد بررسی قرار گرفت. از داده‌های روزانه هواشناسی سه ایستگاه سینوپتیک اصفهان، کرمان و یزد، شامل ساعات آفتابی، دمای هوا، رطوبت نسبی و سرعت باد به عنوان ورودی، و تبخیر-تعرق مرجع روزانه محاسبه شده با روش استاندارد فائق پنم-ماتنیت به عنوان خروجی روش‌های ANN و ANFIS استفاده شد. ایستگاه‌های مورد مطالعه بر اساس روش پنهن بندی اقلیمی دین پژوه در اقلیم بسیار خشک دسته بندی شدند. برآوردهای ET₀ از روش‌های ANN و ANFIS با مدل‌های تجربی مانکنک، پرستی-تیلور، هارکریوز-سامانی، فائق پلامی-کریدل و ریچی مقایسه شد. کارایی روش‌های مورد مقایسه، با استفاده از آماره‌های ریشه میانگین مذکور خطأ (RMSE)، خطای انحراف میانگین (MBE) و ضریب تعیین (R^2)، مورد ارزیابی قرار گرفت. روش‌های ANN و ANFIS توانستند با موفقیت تبخیر-تعرق مرجع روزانه را برآورد کنند. مدل ANFIS₈₅ تنها با سه پارامتر ورودی شامل تشعشع خورشیدی، دمای حداکثر هوا و سرعت باد نسبت به تمامی روش‌های تجربی مورد استفاده، از دقت بالاتری برخوردار است. روش فائق پلامی-کریدل نسبت به دیگر روش‌های تجربی دارای دقت بالاتری بود.

واژه‌های کلیدی: ایران، بسیار خشک، تبخیر-تعرق مرجع، سیستم استنتاج تطبیقی عصبی-فازی، مدل‌های تجربی

مقدمه

می‌توان به نحو قابل توجهی در مصرف آب صرفه جویی کرد. یکی از مهمترین روش‌های بهبود مدیریت مصرف آب در مزرعه، تخمین دقیق میزان آب مصرفی گیاه است. طی نیم قرن گذشته مدل‌های متعددی به صورت روابط ساده تجربی تا معادلات پیچیده علمی، توسط دانشمندان به منظور برآورد تبخیر-تعرق مرجع با استفاده از پارامترهای مختلف هواشناسی ارائه شده است. اغلب این روش‌ها تحت واسنجی محلی بdst آمد و از اعتبار جهانی محدودی برخوردارند. همچنین ممکن است به دلیل مشکلات فنی و اقتصادی، استفاده از ایستگاه‌های هواشناسی مجهز جهت جمع‌آوری و ثبت داده‌های دقیق هواشناسی محدود نبوده و یا در بعضی ایستگاه‌ها تنها برخی از پارامترهای هواشناسی اندازه‌گیری شود. در این صورت تخمین دقیق تبخیر-تعرق با استفاده از داده‌های هواشناسی محدود، مشکل خواهد بود. از طرفی دیگر اثر متقابل پارامترهای هواشناسی از قبیل دما، رطوبت نسبی، سرعت باد، تشعشع و برخی پارامترهای ناشناخته سبب شده است تا روابط ارائه شده برای تخمین تبخیر-

کشور ایران از لحاظ اقلیمی و شرایط آب و هوایی جزو کشورهای خشک و نیمه خشک به حساب می‌آید. در حال حاضر حدود ۹۴ درصد آب استحصالی از منابع آب کشور در بخش کشاورزی مصرف می‌شود و این در حالی است که سهم بخش آب شرب و صنعت به ترتیب ۵ درصد و ۱ درصد می‌باشد (۳). گذشت زمان علاوه بر افزایش جمعیت و نیاز این جمعیت به مواد غذایی، توسعه صنعت و بالا رفتن سطح بهداشت را نیز به دنبال خواهد داشت. به همین دلیل الگوی مصرف آب در آینده تغییرات زیادی خواهد نمود. چنانچه ملاحظه می‌شود بخش کشاورزی مصرف کننده اصلی آب در کشور است، بنابراین با بهبود مدیریت مصرف آب در این بخش و افزایش راندمان مصرف آن

۱، ۲ و ۳ - دانشجوی سابق کارشناسی ارشد و دانشیاران گروه آبیاری و زهکشی، دانشگاه تربیت مدرس تهران
(*-نویسنده مسئول: Email: mirlat_m@modares.ac.ir)

داده‌های هواشناسی برای ایستگاه مورگان هیل لوس‌آنجلس توسعه داده شد، و با روش رگرسیون چندگانه (MLR) مورد مقایسه قرار گرفت. نتایج بیانگر توانایی ANFIS در مدل سازی تبخیر-تعرق بوده و مدل ANFIS^{vi} با چهار ورودی به عنوان بهترین مدل انتخاب شد.^(۱۱)

با آنکه مطالعاتی فراوان به منظور گسترش و استفاده از سیستم‌های هوشمند و روش‌های تجربی به طور جداگانه برای برآورد تبخیر-تعرق مرجع صورت گرفته، اما تاکنون مقایسه جامعی بین دقت این روش‌ها در ایران به انجام نرسیده است. لذا، این پژوهش با هدف بررسی امکان استفاده از کارآمدی شبکه‌های عصبی مصنوعی و خصوصاً سیستم استنتاج تطبیقی عصبی-فازی، در ایجاد نگاشت بین پارامترهای هواشناسی و تبخیر-تعرق گیاه مرجع و مقایسه دقت این دو سیستم هوش مصنوعی، همچنین تعیین بهترین ترکیب بین داده‌های هواشناسی در تخمین میزان تبخیر-تعرق مرجع به منظور کمینه کردن تعداد پارامترهای ورودی به مدل مناسب انجام شد.

مواد و روش تحقیق

سیستم استنتاج تطبیقی عصبی-فازی

شبکه‌های عصبی مصنوعی با الگوبرداری از سیستم کارکرد مغز انسان، با پردازش داده‌های تجربی و بدون توجه به فیزیک مسئله، قانون نهفته در ورای این اطلاعات را استخراج می‌کنند. در مقایسه با مدل‌های مرسوم، این مدل‌ها به ورودی‌های کمتر و تلاش محاسباتی اندکی نیاز دارند. سیستم فازی یک سیستم مبتنی بر قواعد منطقی "شرط-نتیجه" است که با استفاده از مفهوم متغیرهای زبانی و روند تصمیم‌گیری فازی، فضای متغیرهای ورودی را بر فضای متغیرهای خروجی تصویر می‌کند. ترکیب سیستم‌های فازی که مبتنی بر قواعد منطقی بوده، و روش شبکه‌های عصبی مصنوعی که توان استخراج دانش از اطلاعات عددی را دارند، منجر به ارائه سیستم استنتاج تطبیقی عصبی-فازی شده است. در شکل (۲) یک سیستم فازی سوگتو با دو ورودی، یک خروجی و دو قانون و سیستم ANFIS معادل آن آمده است. این سیستم دارای دو ورودی X و Y و یک خروجی f با قوانین زیر است:

$$\begin{aligned} \text{IF } x \text{ is } A_1 \text{ and } y \text{ is } B_1 \text{ Then } f = p_1x + q_1y + r_1 \\ \text{IF } x \text{ is } A_2 \text{ and } y \text{ is } B_2 \text{ Then } f = p_2x + q_2y + r_2 \end{aligned} \quad (۱)$$

اگر خروجی f را لایه به صورت O_i^l باشد (i امین گره از لایه l)، ساختار مدل ANFIS از پنج لایه به شرح زیر تشکیل می‌شود.^(۱۵)

لایه اول، گره‌های ورودی: در این لایه درجه عضویت گره‌های ورودی به بازه‌های مختلف فازی با استفاده ازتابع عضویت مشخص می‌گردد.

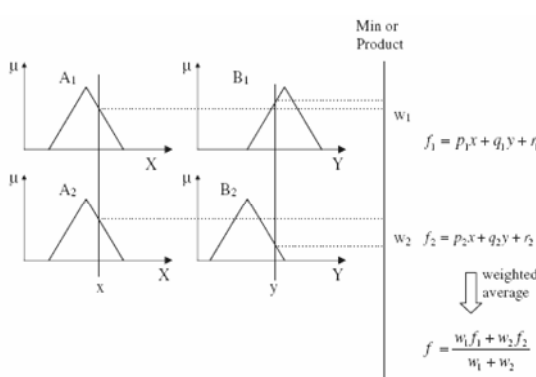
تعرق، به روابطی غیر خطی و پیچیده تبدیل شوند. بنابراین مدلی که بتواند با استفاده از حداقل داده‌های هواشناسی، مقدار تبخیر-تعرق را به صورت دقیق برآورد کند، بسیار مفید خواهد بود. در سال‌های اخیر استفاده از مدل‌های هوش مصنوعی برای شبیه‌سازی مسائل مختلف رواج بیشتری یافته است. مدل‌های شبکه عصبی مصنوعی (ANN) و سیستم استنتاج تطبیقی عصبی-فازی (ANFIS) دو نمونه بارز از این مدل‌ها می‌باشند. محققان بخش صنعت آب نیز در زمینه‌های مختلف هیدرولوژی از جمله تخمین بار معلق رودخانه (۸۰)، رابطه بارش-رواناب (۲ و ۱۳)، تعیین فاصله زهکش‌ها (۱) و پدیده تبخیر از تشت (۱۸، ۲۰ و ۲۱) از مدل‌های هوش مصنوعی کم و بیش بهره گرفته‌اند. در زمینه مدل کردن تبخیر-تعرق مرجع نیز با استفاده از این مدل‌ها مطالعاتی به انجام رسیده است که در ذیل به تعدادی از آنها اشاره شده است. در تحقیقی شبکه‌های عصبی مصنوعی پرسپترون چند لایه (MLP) برای تخمین تبخیر-تعرق مرجع مورد استفاده قرار گرفته و با روش‌های تجربی پمن و هارگریوز مقایسه شد. نتایج نشان داد شبکه‌های MLP به مراتب بهتر از روش‌های تجربی میزان ET₀ را برآورد می‌کنند (۱۷). پتانسیل سه شبکه عصبی مصنوعی پرسپترون چند لایه (MLP)، پایه شعاعی (RBNN) و شبکه‌های احتمالی (GRNN) در مدل سازی تبخیر-تعرق مرجع مورد بررسی قرار گرفت. نتایج حاکی از عملکرد بهتر شبکه‌های MLP و GRNN در برآورد تبخیر-تعرق نسبت به روش‌های تجربی بود (۱۵). شبکه‌های عصبی پرسپترون چند لایه با الگوریتم آموزش لوونبرگ-مارکوت با استفاده از داده‌های روزانه ایستگاه صفائی آباد خوزستان، برای برآورد تبخیر-تعرق مرجع توسعه داده شد. نتایج حاصل از شبکه‌های عصبی با تبخیر-تعرق برآورد شده از روش تشت تبخیر مقایسه شد و مشخص شد که مدل MLP از دقت بیشتری برخوردار است (۱۸). در تحقیق دیگری شبکه‌های عصبی پرسپترون چند لایه با قانون یادگیری پس انتشار خطأ برای برآورد تبخیر-تعرق مرجع روزانه به کار گرفته شد. در مجموع ۱۰ مدل ANN با ساختارهای متفاوت طراحی گردید. براساس نتایج بدست آمده مدل^۳ ANN با چهار پارامتر ورودی (دمای میانگین، رطوبت نسبی میانگین، تشعشع خالص و سوخت باد) و مدل^{۱۰} ANN با یک ورودی (دمای میانگین) بیشترین و کمترین دقت را در برآورد ET₀ داشتند (۴). در تحقیقی سیستم عصبی-فازی (ANFIS) برای اولین بار جهت مدل ANFIS کردن پدیده تبخیر-تعرق مرجع به کار برد شد. نتایج روش ANFIS با روش‌های تجربی پمن، هارگریوز، ریچی، سیستم مدیریت آبیاری کالیفرنیا (CIMS) و شبکه‌های عصبی مصنوعی بر اساس آماره‌های MSE، MAE، R² عصبی-فازی در مدل سازی پدیده تبخیر-تعرق مرجع بود (۱۵). در مطالعه‌ای دیگر با هدف ارزیابی توانایی سیستم استنتاج تطبیقی عصبی-فازی در تخمین تبخیر-تعرق، این سیستم با استفاده از

خروجی نهایی را به صورت زیر محاسبه می‌نماید (تعداد گره‌ها برابر تعداد خروجی‌های است):

$$O_i^5 = \sum_{i=1}^n \bar{w}_i f_i \quad (7)$$

در مدل ANFIS زمانی عمل شبیه سازی به درستی انجام شده است که مجموعه پارامترهای تطبیقی S_1 و مجموعه پارامترهای متعاقب S_2 طوری تخمین زده شوند که مقدارتابع خطای مدل در بخش آموزش و آزمایش به حداقل برسد. به دست آوردن مقدار این پارامترها معمولاً در دو گام صورت می‌گیرد. در گام اول که تا لایه چهارم پیش می‌رود و گام رو به جلو نامیده می‌شود، مجموعه پارامترهای S_1 ثابت فرض شده و مجموعه پارامترهای S_2 با استفاده از الگوریتم حداقل مذکور خطاهای (LSE) محاسبه می‌شوند. در گام دوم که گام رو به عقب نامیده می‌شود، مجموعه پارامترهای S_2 ثابت فرض شده و مجموعه پارامترهای S_1 با استفاده از الگوریتم شبکه کاهشی به دست می‌آیند. انتخاب تابع عضویت بر اساس آزمایش انواع مختلف توابع عضویت صورت می‌گیرد. به این معنی که توابع عضویت، هر کدام جداگانه مورد بررسی قرار می‌گیرند و مدل ANFIS برای هر کدام از این توابع عضویت به صورت جداگانه آموزش می‌بیند. در پایان میزان خطای مدل‌های حاصل با هم مقایسه می‌شود و تابعی که کمترین میزان خطای مدل را در کمترین زمان آموزش حاصل کند، به عنوان تابع عضویت برگزیده خواهد شد (۱۴).

اصولاً وارد کردن داده‌ها به صورت خام باعث کاهش سرعت و دقیقت شبکه‌ها می‌شود. از این رو برای جلوگیری از اشباع زود هنگام نرونها و یکسان سازی ارزش داده‌ها برای شبکه، بایستی ورودی خالص آنها در محدوده تابع سیگموئید (بین ۰ و ۱) قرار گیرد. این کار مانع از کوچک شدن بیش از حد وزنها شده و از اشباع زود هنگام نرونها جلوگیری می‌کند.



شکل ۱- یک سیستم فازی سوگنو با تابع عضویت مثلثی و سیستم ANFIS معادل با آن (۱۶)

$$\begin{aligned} O_i^1 &= \mu_{A_i}(x) & i &= 1,2 \\ O_i^1 &= \mu_{A_{i-2}}(x) & i &= 3,4 \end{aligned} \quad (2)$$

پارامترهای هر گره تعیین کننده شکل تابع عضویت مجموعه فازی آن گره است. تابع عضویت مجموعه‌های فازی معمولاً توسط تابع زنگولهای شکل به صورت زیر بیان می‌شود:

$$\mu_{A_i} = \frac{1}{1 + \left(\frac{x - c_i}{a_i} \right)^{2b_i}} \quad (3)$$

x : مقدار ورودی به گره i و مجموعه پارامترهای تطبیقی نامیده می‌شوند.

لایه دوم، گره‌های قاعده: هر گره در این لایه درجه فعالیت یک قانون را محاسبه می‌کند.

$$O_i^2 = w_i = \mu_{A_i}(x) \times \mu_{B_i}(y) \quad i = 1,2 \quad (4)$$

$\mu_{A_i}(x)$: درجه عضویت x در مجموعه A_i و $\mu_{B_i}(y)$: درجه عضویت y در مجموعه B_i است.

لایه سوم، گره‌های متوسط: در این لایه i امین گره، نسبت درجه فعالیت قانون i ام را به مجموع درجه فعالیت کلیه قوانین به صورت زیر نرمال سازی می‌کند:

$$O_i^3 = \bar{w}_i = \frac{w_i}{\sum_{i=1}^n w_i} \quad i = 1,2 \quad (5)$$

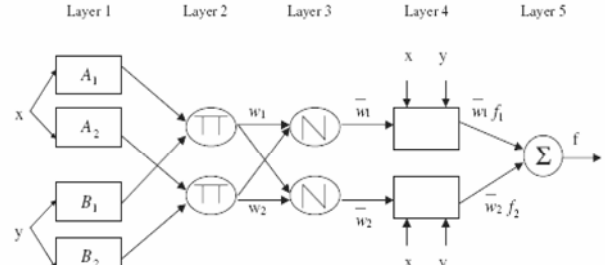
\bar{w}_i : درجه فعالیت نرمال شده قانون i ام.

لایه چهارم، گره‌های نتیجه: در این لایه خروجی هر گره برابر است با:

$$O_i^4 = \bar{w}_i f_i = \bar{w}_i (p_i x + q_i y + r_i) \quad i = 1,2 \quad (6)$$

مجموعه $S_2 = \{p_i, q_i, r_i\}$ پارامترهای متعاقب نامیده می‌شوند.

لایه پنجم، گره‌های خروجی: در این لایه هر گره مقدار



جدول ۱- موقعیت جغرافیایی و اقلیم ایستگاه‌های منتخب

نام ایستگاه	طول جغرافیایی	عرض جغرافیایی	ارتفاع از سطح دریا	P/ET _o	اقلیم
اصفهان	۵۱°۴۰'	۳۲°۳۷'	۱۵۵۰/۴۰	۰/۰۹	بسیار خشک
کرمان	۵۶°۵۸'	۳۰°۱۵'	۱۷۵۳/۸۰	۰/۰۹	بسیار خشک
یزد	۵۴°۱۷'	۳۱°۵۴'	۱۲۳۷/۲۰	۰/۰۴	بسیار خشک

سالانه (رطوبت نسبی سالانه = $\frac{p}{ET_o}$) به سه ناحیه اقلیمی مرطوب، خشک و نیمه خشک و بسیار خشک تقسیم شد (۱۰). به دلیل عدم وجود داده‌های لایسیمتری و بر اساس پیشنهاد سازمان خواربار و کشاورزی جهانی (۷) و نیز تحقیقات انجام شده در سال‌های گذشته، روش فائق پنمن-مانتیث (F-P-M) به عنوان یک روش استاندارد برای محاسبه تبخیر-تعرق مرجع، جهت استفاده در شبکه‌های عصبی مصنوعی و سیستم استنتاج عصبی-فازی و همچنین مقایسه این دو روش با روش‌های تجربی مورد استفاده قرار گرفت.

$$ET_o = \frac{0.408\Delta(R_n - G) + \gamma \left(\frac{900}{(T + 273)} \right) u_2(e_s - e_a)}{\Delta + \gamma(1 + 0.34u_2)} \quad (9)$$

$MJ m^{-2} day^{-1}$: تابش خالص بر حسب R_n

$^{\circ}K$: میانگین دمای هوا بر حسب T

KPa : فشار بخار واقعی بر حسب e_a

$KPa^{\circ}C^{-1}$: شیب منحنی فشار بخار بر حسب Δ

KPa : کمبود فشار بخار اشباع بر حسب $e_s - e_a$

(۱۹۸۴-۲۰۰۴) داده روزانه بود. پس از صحبت سنجی داده‌ها با استفاده از توصیه‌های مندرج در پیوست ۵ دستورالعمل FAO₅₆ و پیوست D گزارش ASCE-EWRI، داده‌های دما و رطوبت نسبت به شرایط مرجع با استفاده از روابط ۱۰-۱۲ تصحیح شدند (۷ و ۱۲). سپس داده‌ها به سه دسته آموزش (۱۱ سال)، برازش متقابل (۵ سال) و آزمایش (۵ سال) تقسیم شدند. دسته اول آموزش شبکه را به عهده دارد، با استفاده از داده‌های برازش متقابل شبکه نسبت به توقف آموزش تصمیم می‌گیرد و دسته سوم برای پیش‌بینی و ارزیابی شبکه مورد استفاده قرار گرفت. جدول ۲ پارامترهای برداشت شده از ایستگاه‌های سه گانه و برخی از پارامترهای آماری مربوط به این داده‌ها را پس از تصحیح نشان می‌دهد.

$$\Delta T = (T_{min})_{obs} - (T_{dew})_{obs} \quad (10)$$

طبق بررسی‌های انجام شده بهتر است سعی شود تا استاندارد سازی داده‌ها بین دو عدد ۰/۰ و ۰/۹ صورت گیرد (۱۱). با استفاده از رابطه زیر داده‌های ورودی به شبکه‌های ANN و ANFIS نرمال شدن.

$$x_i = 0.8 \left(\frac{x - x_{min}}{x_{max} - x_{min}} \right) + 0.1 \quad (8)$$

x_i : مقدار استاندارد شده x : به ترتیب مقدار واقعی مقدار حداقل و حداکثر داده‌ها

روش انجام تحقیق

تحقیق حاضر در سه ایستگاه اصفهان، کرمان و یزد، با اقلیم بسیار خشک انجام گرفته، که برای تعیین اقلیم ایستگاه‌های مورد استفاده از روش اقلیم بندی دین پژوه استفاده شده است. در این روش کل کشور بر اساس نسبت بارندگی سالانه به تبخیر-تعرق مرجع

ET_o : تبخیر-تعرق مرجع بر حسب $mm day^{-1}$

G : شار گرمای خاک بر حسب $MJ m^{-2} day^{-1}$

u_2 : سرعت باد بر حسب $m s^{-1}$

e_s : فشار بخار اشباع بر حسب KPa

γ : ضریب رطوبتی بر حسب $KPa^{\circ}C^{-1}$

همچنین از معادلات تجربی برآورد تبخیر-تعرق مرجع شامل روش‌های ماکینک (M)، پریستنی-تیل سور (P-T)، ریچی (R)، هارگریوز-سامانی (H-S) و فائق بالانی-کریدل (F-B-C) برای مقایسه دقت روش‌های هوش مصنوعی با این مدل‌ها استفاده شد. به منظور مدل کردن تبخیر-تعرق مرجع با استفاده از شبکه عصبی مصنوعی و سیستم استنتاج تطبیقی عصبی-فازی، کدنویسی در محیط نرم افزار جامع MATLAB نسخه 7.4.0 (R2007a) صورت گرفت. در بیشتر مطالعات مرتبط با پارامترهای اقلیمی که از شبکه‌های عصبی مصنوعی استفاده شده است، این شبکه‌ها از نوع پرسپترون چند لایه با الگوریتم آموزش پس انتشار خطاطا (BP) می‌باشند. در این تحقیق نیز از شبکه‌های عصبی پرسپترون چند لایه با الگوریتم آموزش پس انتشار خطاطا و از تابع سیگموئیدی به عنوان تابع فعالیت در لایه میانی و خروجی استفاده شد. داده‌های آماری هر ایستگاه شامل ۲۱ سال

تعریق انتخاب شدند. این پارامترها دامنه وسیعی را در بر می‌گیرند که شامل دما، تشبع، رطوبت نسبی، سرعت باد و ... می‌باشند. با استفاده از ترکیب این پارامترها تعداد ۹۵ الگوی متفاوت ANN طراحی، و با آندهی‌های ۱ تا ۹۵ نام گذاری شدند. سپس برای هر یک از ایستگاه‌های منتخب تمامی الگوهای طراحی شده با استفاده از یک لایه پنهان و تعداد ۱ تا ۳۰ نرون در لایه پنهان، در مجموع به تعداد ۲۸۵ شبکه ANN تهیه شد. پس از ارزیابی دقت مدل‌های ANN در تخمین ET و انتخاب بهترین شبکه در هر یک از ایستگاه‌ها، مدل‌های ANFIS هم ورودی با این شبکه‌ها، برای مقایسه و ارزیابی کارایی شبکه‌های ANFIS نیز توسعه داده شدند. برای ارزیابی مدل‌ها از سه پارامتر ریشه میانگین مجدد خطای (RMSE)، خطای انحراف میانگین (MBE) و ضریب تعیین (R^2) استفاده شد.

$$(T_{\max})_{cor} = (T_{\max})_{obs} - \left(\frac{\Delta T - K_o}{2} \right) \quad (11)$$

$$(T_{\min})_{cor} = (T_{\min})_{obs} - \left(\frac{\Delta T - K_o}{2} \right) \quad (12)$$

$$(T_{dew})_{cor} = (T_{dew})_{obs} - \left(\frac{\Delta T - K_o}{2} \right) \quad (13)$$

در روابط فوق T_{dew} , T_{\max} , T_{\min} به ترتیب دمای حداقل، دمای حداکثر و دمای نقطه شبنم روزانه بوده، آندهی‌های cor , obs به ترتیب خصوصیت مشاهده شده و اصلاح شده هستند و K_o ضریب تحریبی است که مقدار آن برابر ۲ می‌باشد.
عنصر بردار ورودی به شبکه از میان پارامترهای مؤثر بر تبخیر-

جدول ۲- میانگین روزانه پارامترهای هواشناسی و برخی از پارامترهای آماری در ایستگاه‌های منتخب

ایستگاه	پارامتر	واحد	مدار حداقل	مدار حداکثر	مقدار میانگین	معیار	انحراف تغییرات	ضریب چولگی
$\bar{1}$	n	hr	۰/۰۰	۱۳/۹۰	۹/۰۸	۳/۱۰	۰/۳۲	-۱/۲۴
	T_{dew}	$^{\circ}C$	-۱۹/۴۰	۲۱/۴۰	۵/۸۲	۶/۶۳	۱/۱۴	-۰/۲۴
	T_{\min}	$^{\circ}C$	-۱۹/۴۰	۲۱/۴۰	۵/۸۲	۶/۶۳	۱/۱۴	-۰/۲۴
	T_{\max}	$^{\circ}C$	-۶/۸۰	۳۵/۷۵	۱۹/۸۹	۸/۰۵	۰/۴۰	-۰/۲۶
	RH	%	۶/۸۰	۹۸/۸۰	۳۶/۱۲	۱۷/۴۲	۰/۴۸	۰/۹۲
	u_2	ms^{-1}	۰/۰۰	۹/۴۶	۱/۲۰	۱/۰۳	۰/۸۶	۱/۵۰
$\bar{2}$	n	hr	۰/۰۰	۱۴/۸۰	۸/۹۶	۳/۲۴	۰/۳۶	-۱/۲۵
	T_{dew}	$^{\circ}C$	-۱۹/۸۵	۱۶/۴۵	۰/۵۰	۶/۰۲	۱۲/۰۵	-۰/۲۷
	T_{\min}	$^{\circ}C$	-۱۷/۰۰	۱۹/۴۵	۳/۱۹	۶/۲۱	۱/۹۴	-۰/۲۷
	T_{\max}	$^{\circ}C$	-۴/۰۰	۳۶/۹۵	۲۱/۱۵	۶/۹۰	۰/۳۳	-۰/۳۴
	RH	%	۶/۶۰	۹۸/۰۴	۳۱/۹۵	۱۷/۷۴	۰/۵۶	۱/۲۳
	u_2	ms^{-1}	۰/۰۰	۱۲/۳۸	۱/۹۷	۱/۳۸	۰/۷۰	۱/۳۱
$\bar{3}$	n	hr	۰/۰۰	۱۳/۵۰	۸/۸۸	۳/۲۰	۰/۳۶	-۱/۳۰
	T_{dew}	$^{\circ}C$	-۱۵/۸۰	۱۹/۲۰	۴/۰۴	۶/۳۹	۱/۵۸	-۰/۱۹
	T_{\min}	$^{\circ}C$	-۱۲/۸۰	۲۲/۲۰	۶/۸۶	۶/۵۳	۰/۹۵	-۰/۱۸
	T_{\max}	$^{\circ}C$	-۲/۴۰	۳۷/۶۰	۲۱/۲۹	۷/۲۸	۰/۳۴	-۰/۳۶
	RH	%	۴/۸۰	۹۸/۱۰	۳۰/۴۹	۱۷/۸۴	۰/۵۹	۱/۲۰
	u_2	ms^{-1}	۰/۰۰	۷/۲۹	۱/۷۸	۱/۰۲	۰/۵۷	۰/۶۵

 dew : آندهی نقطه max : آندهی حداکثر min : آندهی حداقل T : دمای هوای بر حسب $^{\circ}C$

شبند

 RH : رطوبت نسبی بر حسب درصد n : ساعت آفتابی بر حسب ساعت

نتایج ایستگاه اصفهان

نتایج حاصل از مقایسه پنج روش تجربی در ایستگاه اصفهان نشان از برتری روش پریستلی-تیلور با بیشترین مقدار R^2 و کمترین مقدار MBE و RMSE نسبت به دیگر روش‌های تجربی دارد. پس از روش P-T روش‌های هارگریوز-سامانی و ریچی در اولویت‌های دوم و سوم می‌باشند. مدل‌های P-T و H-S مقدار ET_0 را کمتر از روش F-P-M برآورد می‌کنند. اما مدل R تبخیر-ترعرق را بیشتر از F-P-M برآورد می‌کند. در این ایستگاه روش تجربی پریستلی-تیلور دارای R^2 بالاتر و MBE از شبکه‌های ANN₉ و ANFIS₆₆ بوده لذا می‌توان گفت که از دقت بالاتری نسبت به روش‌های هوشمند همسان با خود برخوردار است. از طرفی دیگر مدل ANFIS₈₅ تنها با سه پارامتر ورودی دارای عملکرد بهتری از تمامی مدل‌های تجربی مورد بررسی می‌باشد. همچنین مدل ANFIS₆₆ به عنوان بهترین مدل از نظر دقت در تخمین ET_0 شناخته شد.

$$RMSE = \sqrt{\frac{1}{N} \sum_{i=1}^N (P_i - O_i)^2} \quad (14)$$

$$MBE = \frac{1}{N} \sum_{i=1}^N (P_i - O_i) \quad (15)$$

$$R^2 = \frac{\left[\sum_{i=1}^N (P_i - \bar{P}) (O_i - \bar{O}) \right]^2}{\sum_{i=1}^N (P_i - \bar{P})^2 \sum_{i=1}^N (O_i - \bar{O})^2} \quad (16)$$

N : تعداد نمونه

\bar{P} : میانگین مقادیر پیش‌بینی شده توسط مدل

P_i : مقادیر پیش‌بینی شده توسط مدل

\bar{O} : میانگین مقادیر واقعی

O_i : مقادیر واقعی

جدول ۳- مشخصات تعدادی از شبکه‌های توسعه داده شده در ایستگاه‌های منتخب

نام ایستگاه	نام شبکه	معماری شبکه	تابع فعالیت/عضویت	ورودی‌های شبکه
اصفهان	$T_{min}, T_{max}, T_{dew}, n$	Logsig-logsig	۴-۱۳-۱	ANN ₉
	$T_{min}, T_{max}, T_{dew}, R_s, u_2$	Logsig-logsig	۵-۷-۱	ANN ₆₆
	T_{max}, R_s, u_2	Logsig-logsig	۳-۱۸-۱	ANN ₈₅
	$T_{min}, T_{max}, T_{dew}, n$	trimf	۲۳۲۵	ANFIS ₉
	$T_{min}, T_{max}, T_{dew}, R_s, u_2$	gaussmf	۲۳۲۳	ANFIS ₆₆
	T_{max}, R_s, u_2	trimf	۲۳۵	ANFIS ₈₅
کرمان	$T_{min}, T_{max}, RH_{min}, n, u_2$	Logsig-logsig	۵-۶-۱	ANN ₉₅
	$T_{min}, T_{max}, RH, R_s, u_2$	Logsig-logsig	۵-۴-۱	ANN ₆₇
	T_{max}, R_s, u_2	Logsig-logsig	۳-۱۳-۱	ANN ₈₅
	$T_{min}, T_{max}, RH_{min}, n, u_2$	gaussmf	۲۳۲۳	ANFIS ₉₅
	$T_{min}, T_{max}, RH, R_s, u_2$	gaussmf	۲۳۲۳	ANFIS ₆₇
	T_{max}, R_s, u_2	trimf	۳۳۳	ANFIS ₈₅
بزد	$T_{min}, T_{max}, RH_{min}, n, u_2$	Logsig-logsig	۵-۱۱-۱	ANN ₉₅
	$T_{min}, T_{max}, T_{dew}, R_s, u_2$	Logsig-logsig	۵-۳-۱	ANN ₆₆
	T_{max}, R_s, u_2	Logsig-logsig	۳-۹-۱	ANN ₈₅
	$T_{min}, T_{max}, RH_{min}, n, u_2$	trimf	۲۳۲۳	ANFIS ₉₅
	$T_{min}, T_{max}, T_{dew}, R_s, u_2$	trimf	۲۳۲۳	ANFIS ₆₆
	T_{max}, R_s, u_2	trimf	۳۳۳	ANFIS ₈₅

جدول ۴- نتایج حاصل از مقایسه روش‌های تجربی و مدل‌های هوش مصنوعی با روش استاندارد فائق پنمن-مانیتیث

نام روش	پارامترهای ورودی	اصفهان	کرمان	یزد				
MBE	RMSE	R ²	MBE	RMSE	R ²	MBE	RMSE	R ²
-۰/۰۲۰	-۰/۵۷۴	-۰/۹۳۶	-۰/۱۱۲	-۰/۵۳۵	-۰/۹۳۰	-۰/۳۲۶	-۰/۷۷۳	-۰/۹۰۹
-۰/۲۹۴	-۰/۶۸۵	-۰/۹۲۴	-۰/۰۳۵	-۰/۵۷۴	-۰/۸۹۴	-۰/۲۷۰	-۰/۶۴۵	-۰/۹۰۶
-۰/۰۴۹	-۰/۵۷۶	-۰/۹۱۷	-۰/۱۶۹	-۰/۶۴۷	-۰/۸۷۶	-۰/۳۱۸	-۰/۶۶۸	-۰/۸۹۴
-۰/۰۵۲	-۰/۷۱۰	-۰/۹۲۱	-۰/۶۴۰	-۰/۸۱۸	-۰/۹۱۶	-۰/۰۲۹	-۰/۴۶۰	-۰/۹۳۸
-۰/۸۱۲	-۰/۹۹۴	-۰/۹۰۱	-۰/۸۶۰	۱/۱۲۲	-۰/۸۷۳	-۰/۴۴۰	-۰/۷۰۲	-۰/۹۰۴
—	—	—	—	—	—	-۰/۰۱۱	-۰/۶۷۰	-۰/۹۰۱
-۰/۳۲۶	-۰/۳۰۹	-۰/۹۸۹	—	—	—	-۰/۰۱۰	-۰/۱۷۸	-۰/۹۹۰
—	—	—	-۰/۰۶۰	-۰/۲۳۲	-۰/۹۸۶	—	—	T _{min} , T _{max} , RH, R _s , u ₂
-۰/۶۹۲	-۰/۴۷۳	-۰/۹۸۵	-۰/۰۹۷	-۰/۲۵۰	-۰/۹۸۰	-۰/۰۱۲	-۰/۱۹۵	-۰/۹۸۵
-۰/۰۶۳	-۰/۵۳۴	-۰/۹۴۱	-۰/۱۷۷	-۰/۴۲۴	-۰/۹۴۸	—	—	T _{min} , T _{max} , RH _{min} , n, u ₂
—	—	—	—	—	—	-۰/۰۷۴	-۰/۶۴۴	-۰/۹۰۵
-۰/۴۲۸	-۰/۲۰۲	-۰/۹۹۱	—	—	—	-۰/۰۱۳	-۰/۱۷۵	-۰/۹۹۲
—	—	—	-۰/۱۷۶	-۰/۲۱۶	-۰/۹۹۰	—	—	T _{min} , T _{max} , RH, R _s , u ₂
-۰/۰۵۱۲	-۰/۳۹۴	-۰/۹۸۸	-۰/۱۷۳	-۰/۲۲۸	-۰/۹۸۴	-۰/۰۳۸	-۰/۱۸۴	-۰/۹۸۷
-۰/۰۵۲۵	-۰/۵۰۰	-۰/۹۵۵	-۰/۰۵۱	-۰/۳۹۸	-۰/۹۵۹	—	—	T _{min} , T _{max} , RH _{min} , n, u ₂
								ANN ₉
								ANN ₆₆
								ANN ₆₇
								ANN ₈₅
								ANN ₉₅
								ANFIS ₉
								ANFIS ₆₆
								ANFIS ₆₇
								ANFIS ₈₅
								ANFIS ₉₅

RMSE به ترتیب برابر با ۰/۹۸۸، ۰/۳۹۴، ۰/۰۹۸۸ و -۰/۵۱۲ دارد. دقت بالاتری از تمامی روش‌های تجربی می‌باشد.

بحث و نتیجه‌گیری

نتایج حاصل از مقایسه روش‌های تجربی دمایی و تابشی در اقلیم بسیار خشک نشان دهنده برتری روش فائق پلانی-کریدل با متوسط RMSE² و R² برابر با ۰/۹۳۵ و ۰/۵۲۳ نسبت به دیگر روش‌های تجربی می‌باشد. روش‌های هارگریوز-سامانی و ریچی در متوسط RMSE² و R² به ترتیب برابر با ۰/۹۰۸، ۰/۶۳۵، ۰/۸۹۶ و ۰/۶۳۰ پس از روش فائق پلانی-کریدل در اولویت‌های بعدی قرار گرفتند. از میان شبکه‌های عصبی مصنوعی، مدل‌های ANFIS₆₆ در ایستگاه‌های اصفهان و یزد و ANFIS₆₇ در ایستگاه کرمان به عنوان بهترین مدل در تخمین تبخیر-تعرق شناسایی شدند. مدل‌های ANFIS₆₆ و ANFIS₆₇ با پنج پارامتر ورودی دارای قدرت بسیار بالایی در تخمین ET₀ می‌باشند. همچنین از میان مدل‌های با سه پارامتر ورودی، مدل ANFIS₈₅ و ANN₈₅ در تمامی ایستگاه‌ها نسبت به تمامی روش‌های تجربی مورد استفاده از دقت بالاتری برخوردارند.

به طور کلی نتایج حاصل از این پژوهش نیز، همانند برخی از تحقیقات انجام شده در داخل و خارج از کشور، نشان دهنده قدرت و توانایی شبکه‌های عصبی مصنوعی و سیستم استنتاج تطبیقی عصبی-فازی، در مدل کردن پدیده تبخیر-تعرق، و دقت بالاتر این روش‌ها نسبت به مدل‌های تجربی می‌باشد (۴، ۱۱، ۱۵، ۱۷ و ۱۹). در مجموع با مقایسه شبکه‌های عصبی مصنوعی و سیستم استنتاج تطبیقی

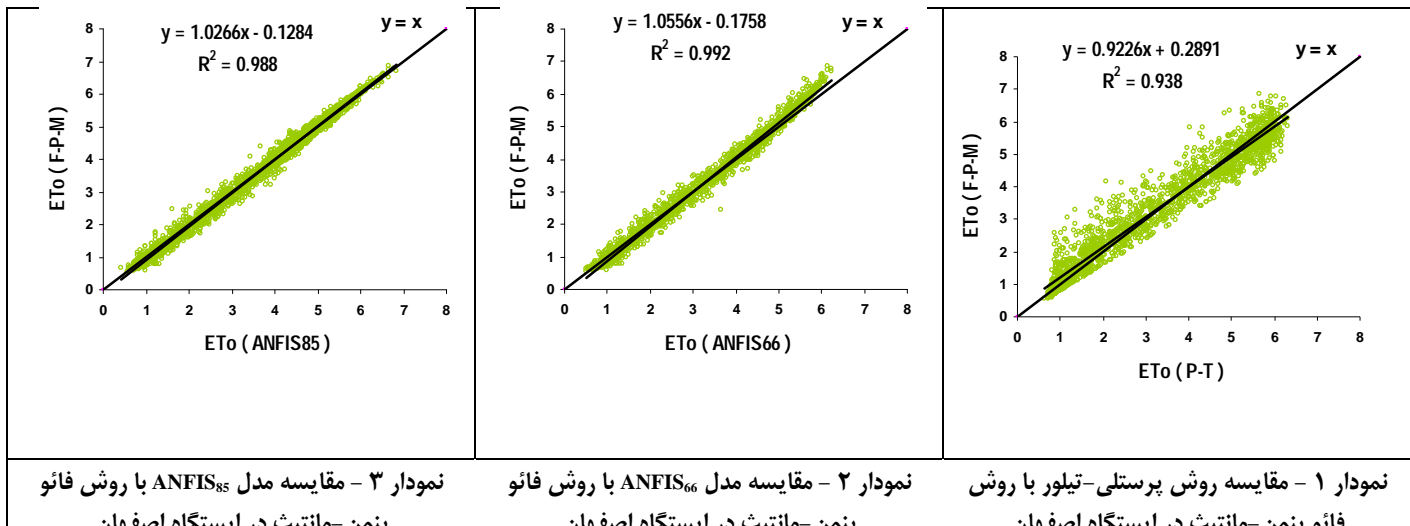
ایستگاه کرمان

در ایستگاه کرمان روش بلانی-کریدل فائق پلانی-کریدل با R² و RMSE به ترتیب برابر با ۰/۹۳۰، ۰/۵۳۵ و -۰/۱۱۲ نسبت به دیگر روش‌های تجربی دارای دقت بیشتری است. پس از روش F-B-C تمامی مدل‌های تجربی موربد برسی مقدار ET₀ را نسبت به روش P-M کمتر برآورد می‌کنند. در این ایستگاه نیز مدل ANFIS₈₅ دارای دقت به مراتب بالاتری از تمامی مدل‌های تجربی موربد برسی می‌باشد. همچنین مدل ANFIS₆₇ به عنوان بهترین مدل برآورد ET₀ شناخته شد.

ایستگاه یزد

در این ایستگاه نیز همانند ایستگاه کرمان، از میان روش‌های تجربی، روش فائق پلانی-کریدل دارای بالاترین مقدار R² و پایین‌ترین مقدار MBE و RMSE بوده و از نظر دقت در برآورد تبخیر-تعرق نسبت به دیگر روش‌ها در اولویت اول قرار دارد. پس از روش F-B-C روش‌های ریچی و هارگریوز-سامانی در اولویت‌های بعدی قرار گرفتند. مدل‌های R² و H-S مقدار ET₀ را کمتر از روش F-P-M برآورد می‌کنند اما مدل F-B-C تبخیر-تعرق را بیشتر از مدل F-P-M برآورد می‌کند. تمامی مدل‌های ANN و عملکرد ANFIS₆₆ برآورد می‌کنند. مدل ANFIS₆₇ با پنج پارامتر ورودی به عنوان بهترین مدل در تخمین تبخیر-تعرق مرجع شناخته شد و مدل ANFIS₈₅ با سه پارامتر ورودی و

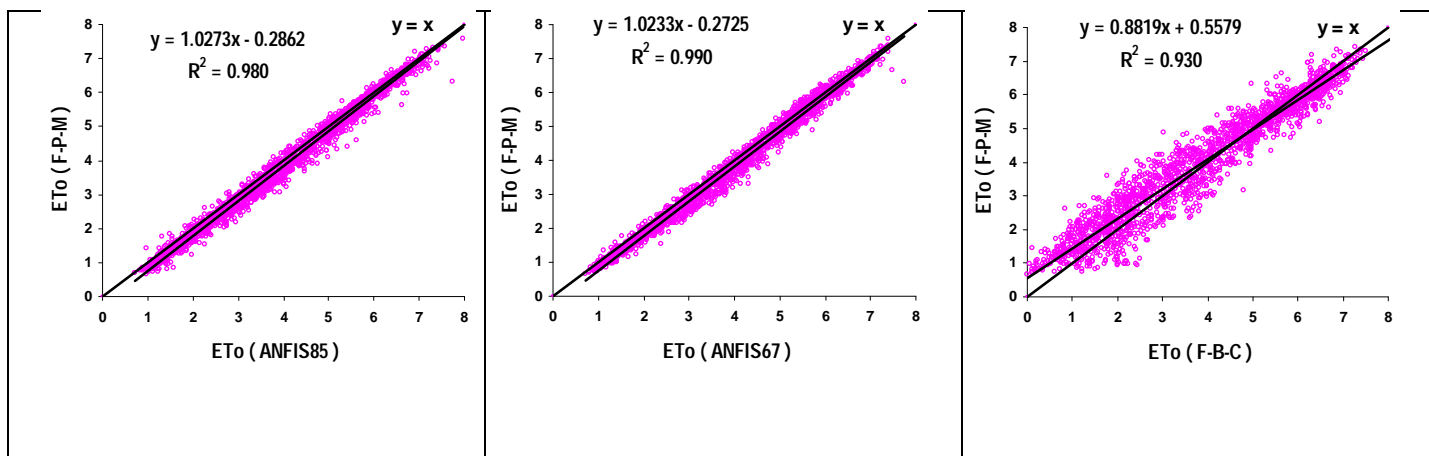
عصبی-فازی، عملکرد مدل‌های ANFIS از مدل‌های ANN و روش‌های تجربی بهتر ارزیابی شد، که مؤید نتایج بدست آمده از



نمودار ۳ - مقایسه مدل ANFIS₈₅ با روش فائز پنمن-مانتیث در ایستگاه اصفهان

نمودار ۲ - مقایسه مدل ANFIS₆₆ با روش فائز پنمن-مانتیث در ایستگاه اصفهان

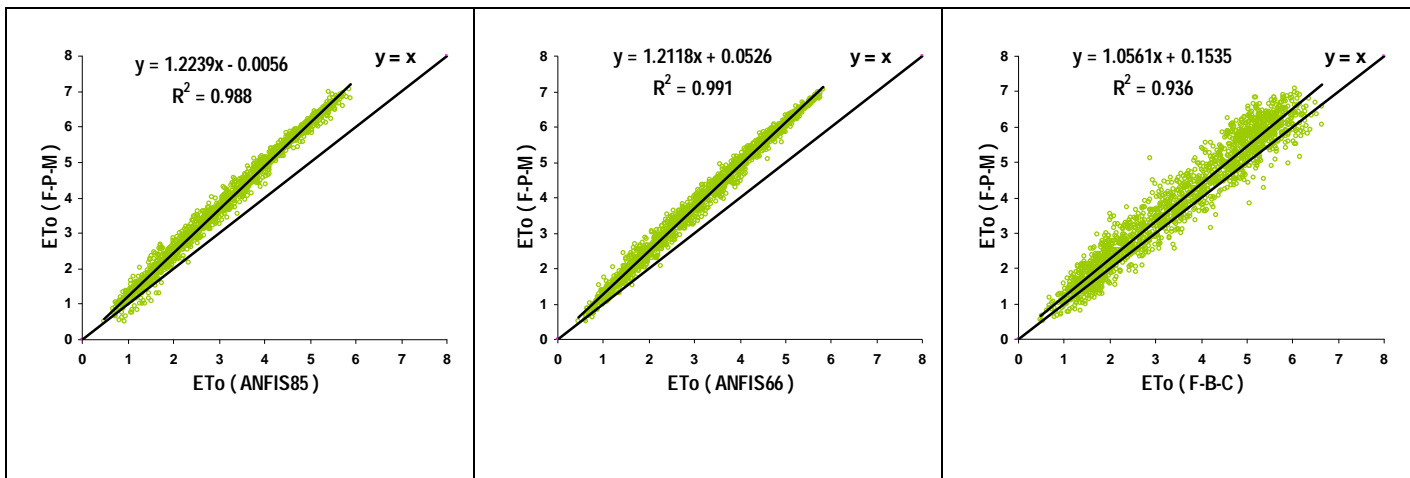
نمودار ۱ - مقایسه روش پرسنلی-تیلور با روش فائز پنمن-مانتیث در ایستگاه اصفهان



نمودار ۶ - مقایسه مدل ANFIS₈₅ با روش فائز پنمن-مانتیث در ایستگاه کرمان

نمودار ۵ - مقایسه مدل ANFIS₆₇ با روش فائز پنمن-مانتیث در ایستگاه کرمان

نمودار ۴ - مقایسه روش فائز بلانی-کریدل با روش فائز پنمن-مانتیث در ایستگاه کرمان



نمودار ۹ - مقایسه مدل ANFIS₈₅ با روش فائق پنمن-مانیث در ایستگاه یزد

نمودار ۸ - مقایسه مدل ANFIS₆₆ با روش فائق پنمن-مانیث در ایستگاه یزد

نمودار ۷ - مقایسه روش فائق بلانی-کریدل با روش فائق پنمن-مانیث در ایستگاه یزد

منابع

- سلامی م., اژدری س., ریاحی مدوار ح. و محمدی ک. ۱۳۸۶. تخمین فاصله لوله‌های زهکشی در حالت‌های ماندگار و غیرماندگار با استفاده از استنتاج فازی (ANFIS). سومین کنگره ملی مهندسی عمران، دانشگاه صنعتی اصفهان.
- سلطانی س. و مرید س. ۱۳۸۱. مقایسه مدل‌های شبکه‌های عصبی مصنوعی در شبیه سازی فرایند بارش رواناب. ششمین سمینار بین‌المللی مهندسی رودخانه، دانشگاه شهید چمران اهواز.
- غفاری شیروان ج. ۱۳۷۷. مسائل آب و فاضلاب در شرایط جدید کشور. نشریه آب و محیط زیست، شماره ۲۹.
- کوچکزاده م. و بهمنی ع. ۱۳۸۴. ارزیابی عملکرد شبکه‌های عصبی مصنوعی در کاهش پارامترهای مورد نیاز جهت برآورد تبخیر و تعرق مرجع.
- محله علمی-پژوهشی علوم کشاورزی، سال یازدهم، شماره ۴.
- مساعدی ا., جلالی م. و نجفی حاجیورم. ۱۳۸۵. برآورد رسواب انتقالی در ایستگاه هیدرومتری تمر به کمک شبکه عصبی مصنوعی. هفتمین سمینار بین‌المللی مهندسی رودخانه، بهمن ماه ۱۳۸۵، دانشگاه شهید چمران اهواز.
- منهاج م.ب. ۱۳۷۹. هوش محاسباتی (مبانی شبکه‌های عصبی). جلد اول، انتشارات دانشگاه پلی تکنیک.
- Allen R.G., Preira L.S., Raes D., and Smith M. 1998. Crop Evapotranspiration Guidelines for Computing Crop Water Requirement. FAO Irrigation and Drainage Paper, NO.56, Rome, Italy.
- Alp M., and Cigizoglu H.K. 2007. Suspended sediment load simulation by two artificial neural network methods using hydro meteorological data. Journal of Environmental Modeling & Software, 22: 2-13.
- Denal M.A., Palis F., and Zeghbib A. 2004. ANFIS: Based Modeling Control of Non-linear Systems. IEEE International Conference on Systems, Man & Cybernetic: 3433-3437.
- Dinpashoh Y. 2006. Study of Reference Crop Evapotranspiration in I.R. of Iran. Agricultural water management, 84: 123-129.
- Dogan E. 2008. Reference evapotranspiration estimation using adaptive neuro-fuzzy inference system. Journal of Irrigation and Drainage. 58 (5): 617-628.
- EWRI 2001. The ASCE standardized reference evapotranspiration equation. Environmental and Water Resources Institute of the ASCE Standardization of Reference Evapotranspiration Task Committee.
- Gautam D.K., and Holz k.P. 2001. Rainfall-runoff modeling using adaptive neuro-fuzzy systems. Journal of Hydro Informatics. 3(1): 3-10.
- Jang J.S.R. 1993. ANFIS: Adaptive-network-based Fuzzy Inference System. IEEE Transactions on Systems, Man and Cybernetic, 23(3): 665-685.
- Kisi O. 2007. The potential of different ANN techniques in evapotranspiration modeling. Journal of Hydrological Process, 22(14): 2449-2460.
- Kisi O., and Ozturk O. 2007. Adaptive neurofuzzy computing technique for evapotranspiration estimation. Journal of Irrigation and Drainage Engineering. ASCE, 133(4): 368-379.
- Kisi O. 2006a. Evapotranspiration Estimation Using Feed-Forward Neural Networks. Nord. Hydrol., 37(3):

- 247–260.
- 18- Kisi O. 2006b. Daily pan evaporation modeling using a neuro-fuzzy computing technique. *Journal of Hydrology*, 329 (3-4): 636–646.
- 19- Rahimi Khoob A. 2008. Artificial neural network estimation of reference evapotranspiration from pan evaporation in a semi-arid environment. *Journal of Irrigation Science*, 27(1): 35–39.
- 20- Sudheer K.P., Gosian A.K., and Ramasarti K.S. 2003. Estimating actual evapotranspiration from limited climatic data using neural computing technique. *Journal of Irrigation and Drainage Engineering*, 129(3): 214- 218.
- 21- Terzi O., Keskin M.E., and Taylan E.D. 2006. Estimation evaporation using ANFIS. *Journal of Irrigation and Drainage Engineering*. ASCE, 132(5): 503-507.



Comparison of Artificial Intelligence Systems (ANN & ANFIS) for Reference Evapotranspiration Estimation in the Extreme Arid Regions of Iran

K. Ahmadzadeh Gharah Gwiz¹ – S. M. Mirlatifi^{2*} – K. Mohammadi³

Abstract

Evapotranspiration is one of the basic components of the hydrological cycle and is essential for estimating irrigation water requirement. In recent years, the use of intelligent systems for estimation of hydrological related parameters has increased dramatically. The objective of this study was to evaluate the possibility of estimating daily reference evapotranspiration by using artificial intelligence systems, and to compare these systems together. The potential of using the adaptive neuro-fuzzy inference system (ANFIS) and the artificial neural network (ANN) techniques was investigated for estimating daily reference evapotranspiration (ET_o). Various daily climatic data including daylight hours, air temperature, relative humidity, and wind speed from three synoptic weather stations (Esfahan, Kerman and, Yazd) located in the extreme arid climatic regions of Iran were used as inputs to the ANFIS and ANN techniques to estimate ET_o as calculated by the FAO₅₆ Penman-Monteith (F-P-M) equation. A comparison was made between the estimates provided by the ANN and ANFIS and those of the following empirical models: The Makkink, Priestley-Taylor, Hargreaves-Samani, FAO Blaney-Criddle, and Ritchie. Root mean squared errors, mean bias errors, and determination coefficient statistical indices were used for the evaluation of the performance of the models. Results revealed that the ANN and ANFIS techniques could be employed successfully for modeling daily ET_o process. The ANFIS₈₅ model with three input parameters including solar radiation, maximum air temperature, and wind speed estimated ET_o with a higher degree of accuracy than empirical models. The FAO Blaney-Criddle model was found to perform better than other empirical models included in this study.

Keywords: Adaptive neuro-fuzzy inference system, Empirical models, Evapotranspiration, Extra arid climate, Iran

1,2,3- Graduate student, and Assoc. professors, Irrigation and Drainage Engineering Dept, Tarbiat Modares University of Tehran

(* - Corresponding Author Email: mirlat_m@modares.ac.ir)